

フェージング環境における 符号化Slotted ALOHAシステムの性能解析

高橋 侑平

目次

➤ 符号化Slotted ALOHAシステム（本システムの説明）

- ✓ 符号化と復号
- ✓ 評価指標

➤ BP閾値の定式化

- ✓ （レイリーフェージング環境）

➤ Converse限界の定式化

➤ MAP閾値の定式化

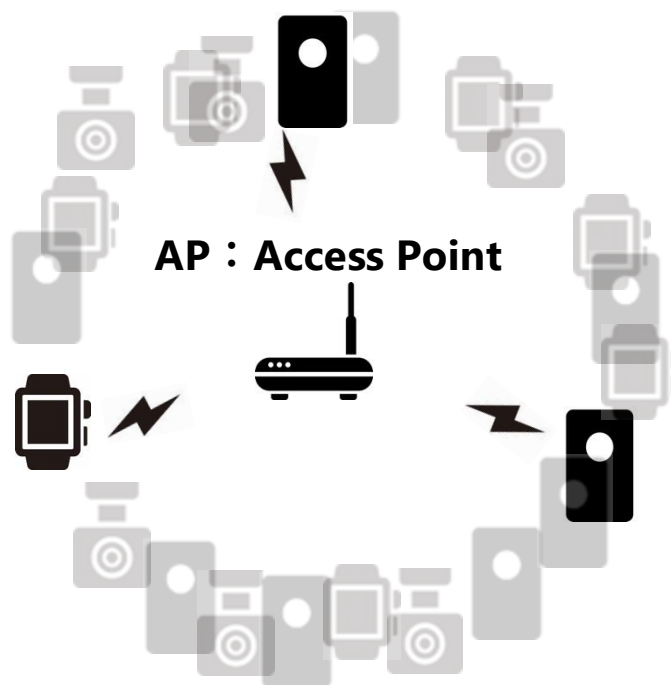
➤ 数値結果

研究背景

➤ IoTの発展による**超大規模**センサネットワークの普及

- ✓ 膨大な送信デバイス数
- ✓ ある時刻では**一部**のデバイスのみが送信

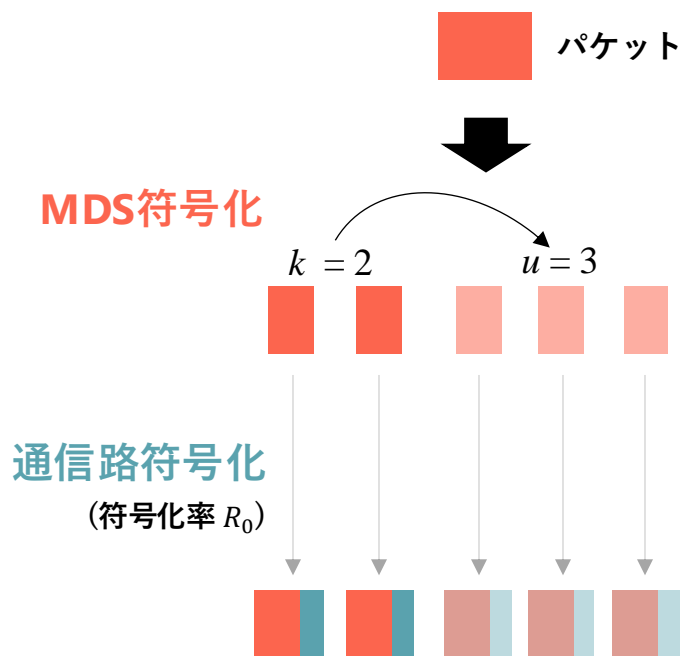
➡ **ランダムアクセス**通信



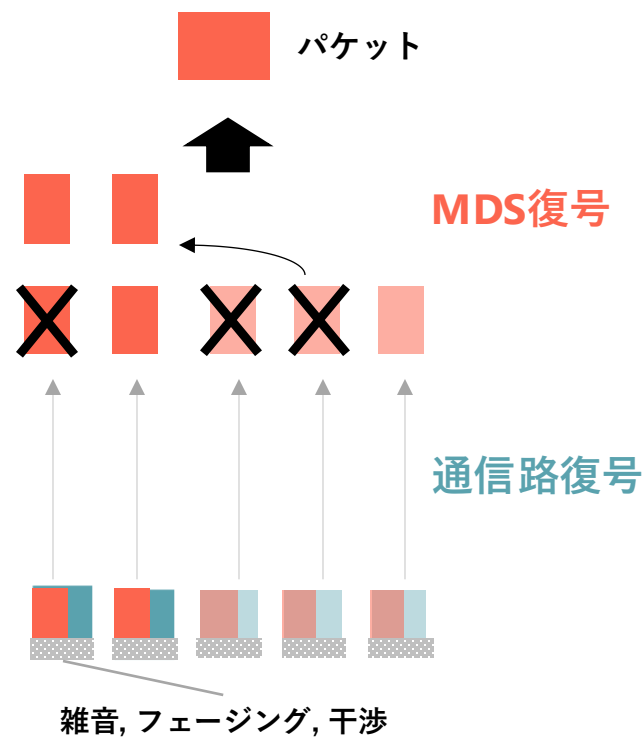
超大規模センサネットワーク

パケットの符号化と復号

➤ 符号化



➤ 復号



レイリーフェージング通信路

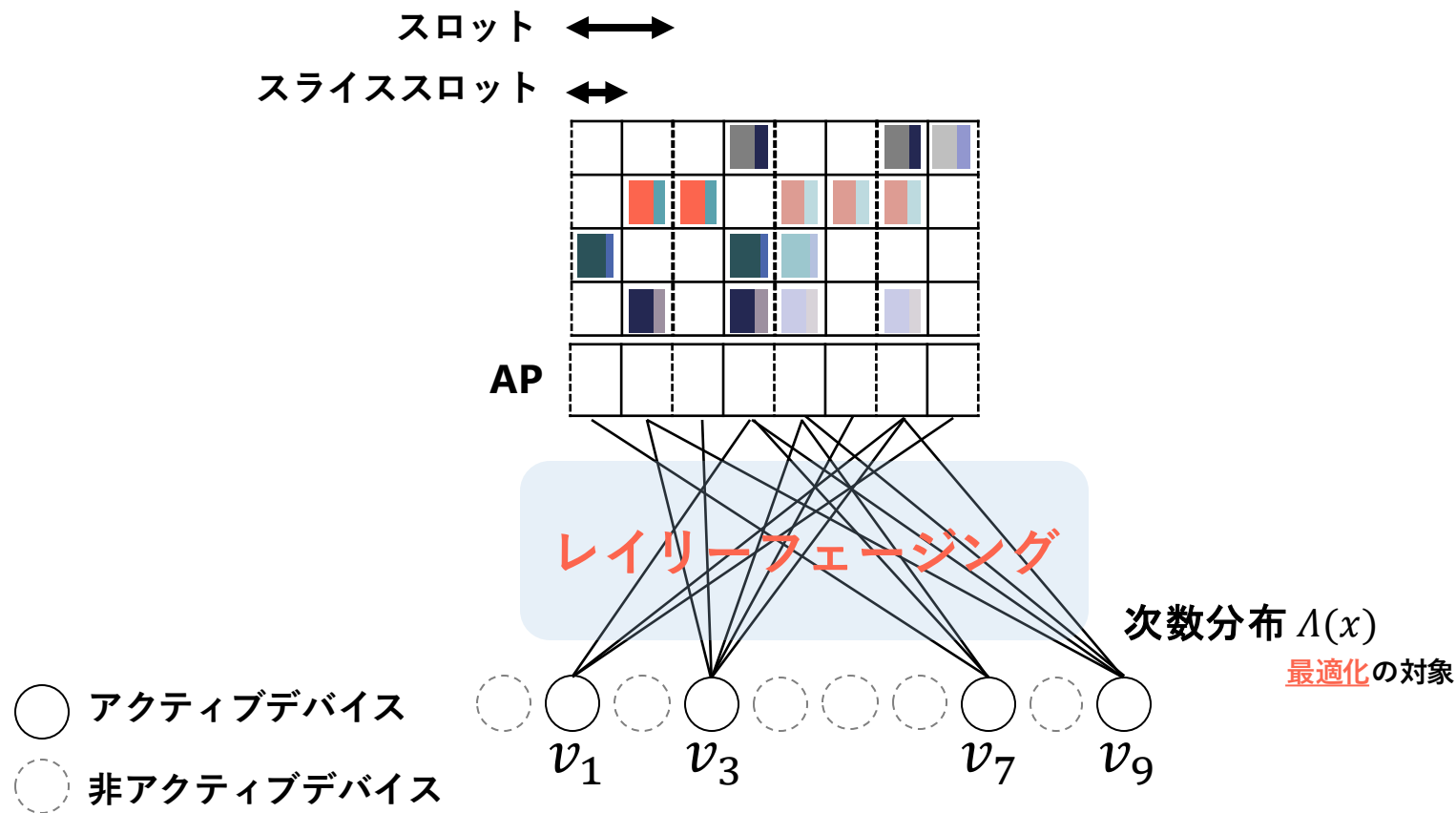
MDS符号：最大距離分離符号
SINR：信号対干渉雑音電力比

$$\text{SINR} = \frac{\text{受信電力}}{\text{干渉電力} + \text{雑音電力}} > \eta_0$$

$(\eta_0 = 2^{R_0} - 1)$
通信路符号の復号閾値

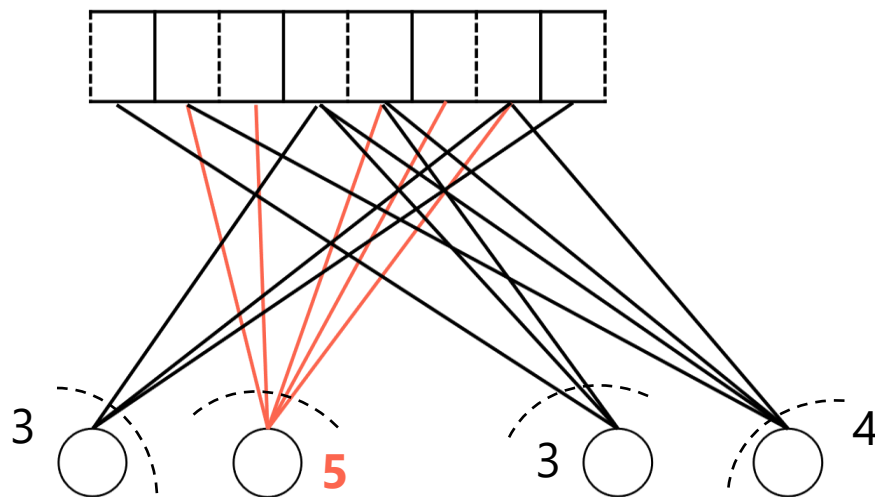
符号化Slotted ALOHA (C-SA) [Paolini11]

➤ 送信方式



[Paolini11] E. Paolini, G. Liva, and M. Chiani, "High throughput random access via codes on graphs: Coded slotted ALOHA," in 2011 IEEE International Conference on Communications (ICC), 2011, pp. 1–6. フェージングなし

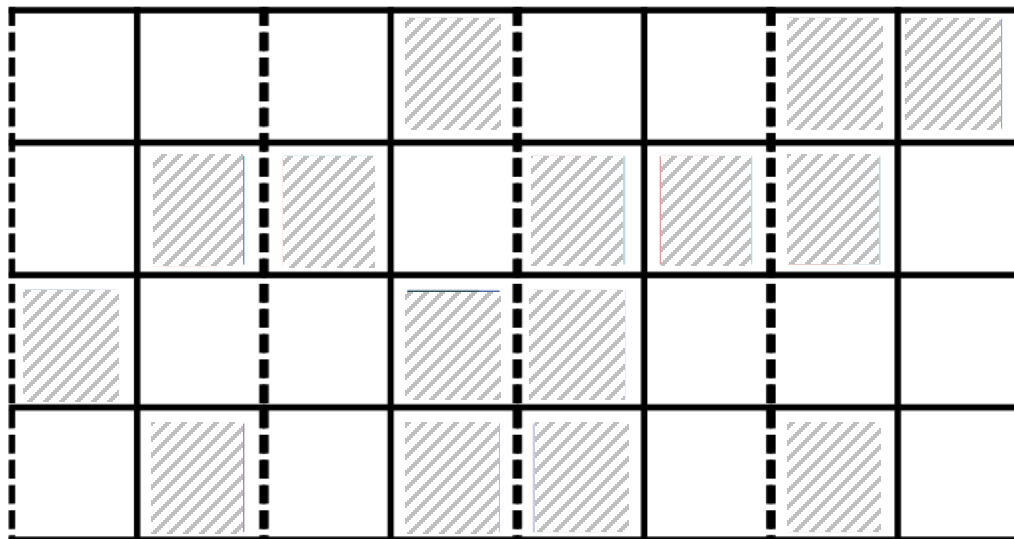
次数分布の例



$$\Lambda(x) = \frac{2}{4}x^3 + \frac{1}{4}x^4 + \frac{1}{4}x^5$$

フェージング環境下での復号過程

$$k = 2$$



スロット内とスロット間のSICを交互に行い復号

評価指標

➤ 通信トラフィック G

N_T : 総デバイス数

$$\alpha = N_T / M$$



1パケット / 1デバイス
アクティブデバイス数

$$G = \frac{\pi N_T}{M} = \frac{\pi \alpha}{\text{アクティブ確率}}$$

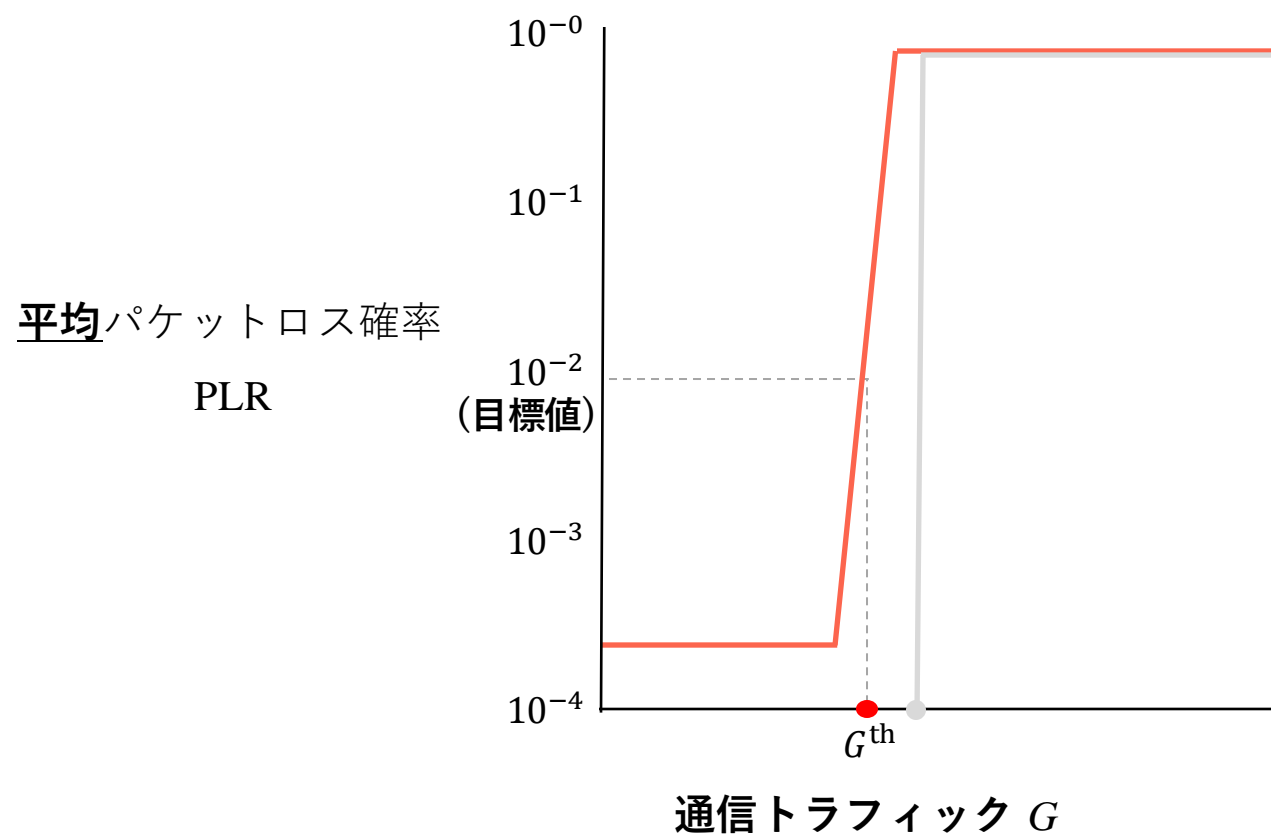
1スロットあたりに正しく受信するパケット数

$$\checkmark G \xrightarrow[\Lambda(x) \text{最適化}]{\text{PLR} \rightarrow 0} \text{最大化}$$

PLR : 平均パケットロス確率

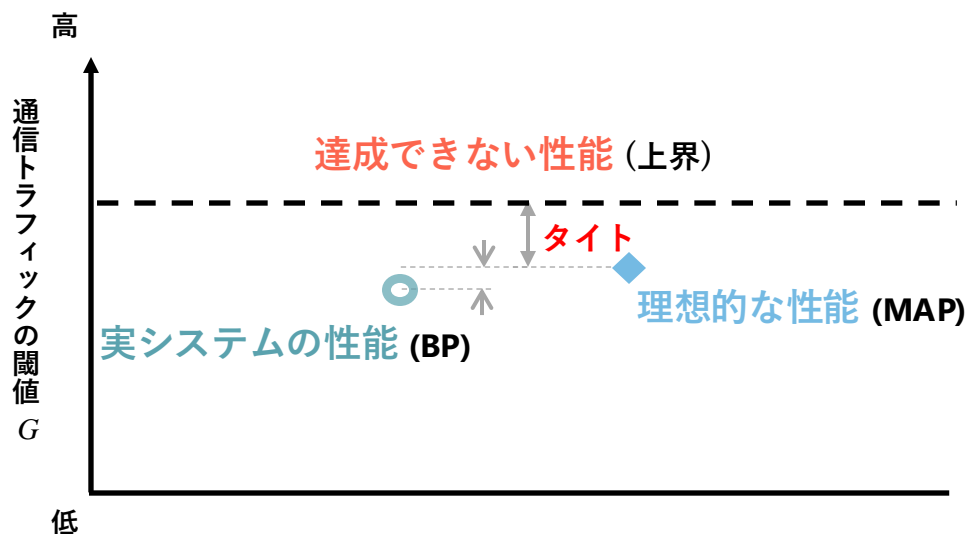
閾値の定義

➤ 通信トラフィックの閾値 G^{th}



閾値

漸近的性能 (スロット数 $M \rightarrow \infty$)



➤ **漸近的閾値上界** $G^{C,blk}$: 達成できない性能 (下限)

✓ 達成可能なMAP閾値と非常にタイト

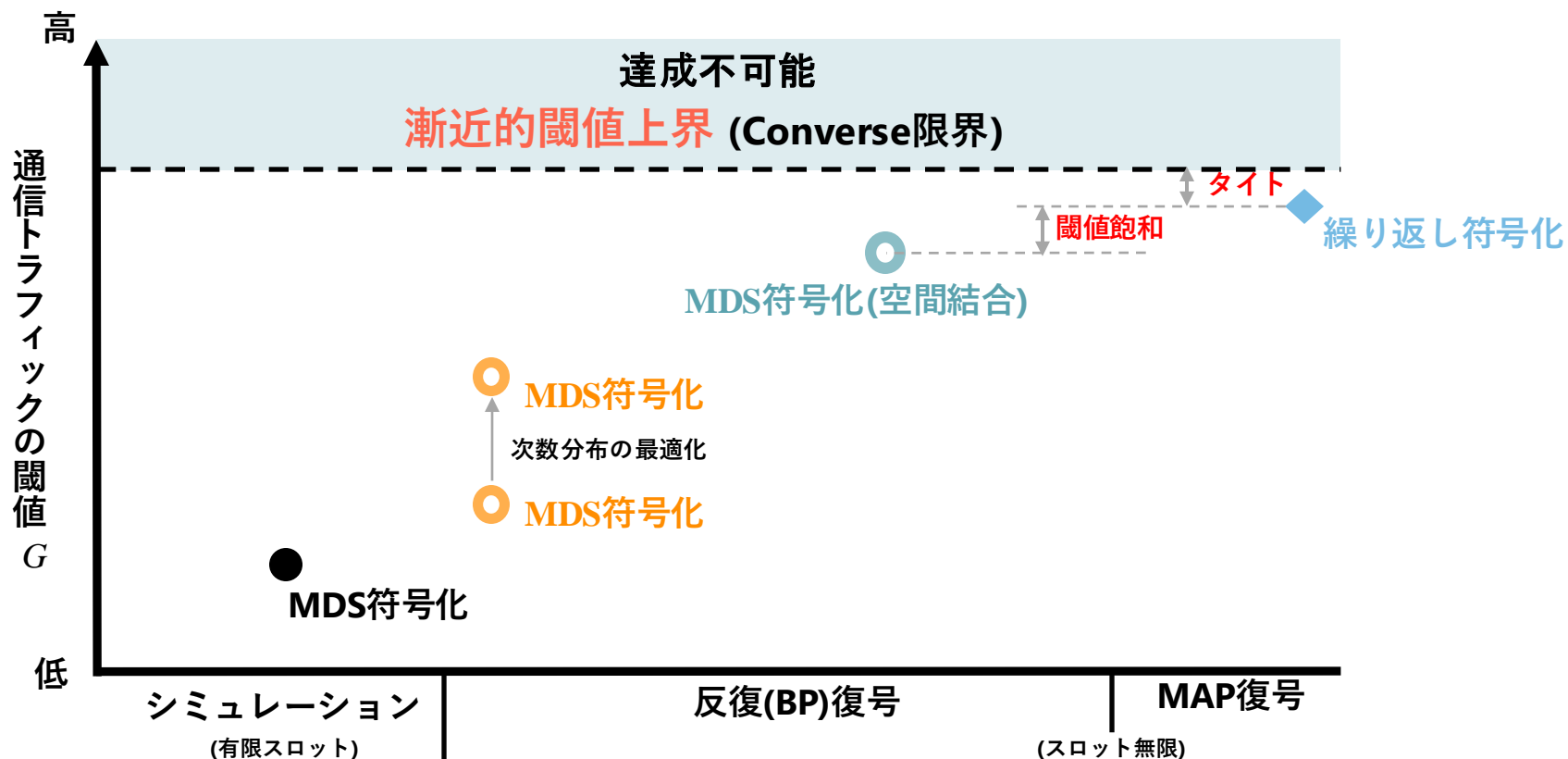
➤ **MAP閾値** $G^{MAP,blk}$: **MAP復号(理想的な復号)の性能**

計算量膨大

➤ **BP閾値** $G^{BP,blk}$: **反復復号(具体的な送信方式)の性能**

本研究の貢献

レイリーフェージング環境



➤ 空間結合

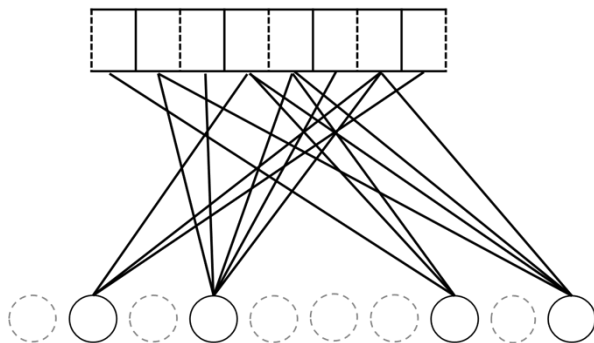
- ✓ 全デバイス同じ送信セグメント数
- 最適化不要, 同じ送信電力

目次

- 符号化Slotted ALOHAシステム（本システムの説明）
 - ✓ 符号化と復号
 - ✓ 評価指標
- **BP閾値**の定式化
 - ✓ （**レイリーフェージング**環境）
- **Converse限界**の定式化
- **MAP閾値**の定式化
- 数値結果

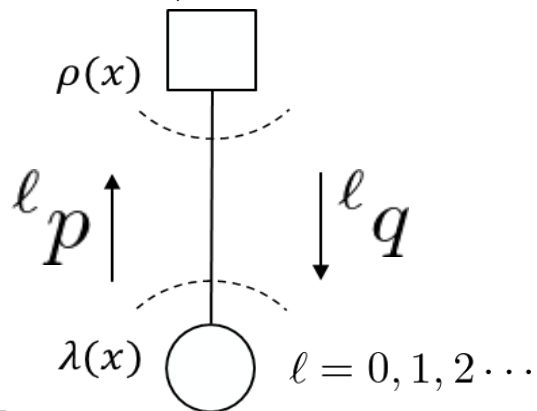
確率伝搬モデル

● シミュレーション (タナーグラフ)



$\alpha = N_T/M$ 一定で, $M \rightarrow \infty$

● 確率モデル (プロトグラフ)



次数分布

$$\lambda(x) = \sum_{u=n_1}^{n_c} \lambda_u x^{u-1}$$

$$\rho(x) = e^{-\frac{\alpha}{R}(1-x)}$$

ポアソン分布の多項式表現

R : システム平均符号化率

数値解析：密度発展法 (DE: Density Evolution)

➤ デバイスノード処理

$${}^{\ell}p = \pi \tilde{\lambda}({}^{(\ell-1)}q)$$

➤ スロットノード処理

$${}^{\ell}q = 1 - \chi(1 - {}^{\ell}p)$$

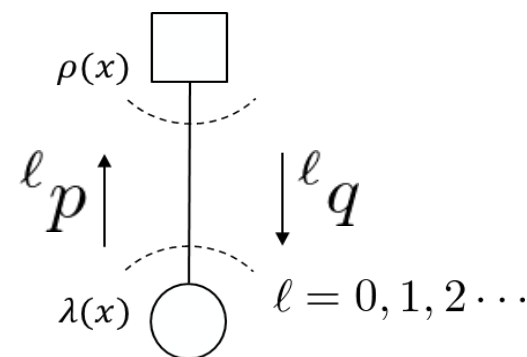
➤ 通信トラフィックの閾値

$$G^{\text{BP,blk}} = \sup\{\alpha\pi : \underbrace{\Lambda({}^{(\infty)}q)}_{\text{平均PLR}} \rightarrow 0\}$$

BP閾値

初期値

$${}^{(0)}p = \pi, {}^{(0)}q = 1$$



BP：確率伝搬法

α ：定数

密度発展法

スロット内SICの平均パケット誤り率 [Clazzer17]

$$\bar{\epsilon}_m = 1 - \sum_{t=1}^m \frac{(m-1)!}{(m-t)!} \frac{e^{-\frac{1}{F}((1+\eta_0)^t - 1)}}{(1+\eta_0)^{t(m-(t+1)/2)}}$$

➤ デバイスノード処理の関数

$$\tilde{\lambda}^{(\ell-1)}(q) = \sum_{u=n_1}^{n_c} \lambda_u \cdot f_b^{(u)}((\ell-1)q)$$

$$f_b^{(u)}(q) = q^{n_u-1}$$

繰り返し符号

MDS符号

$$f_b^{(u)}(q) = \sum_{i=0}^{k-1} \binom{n_u-1}{i} (1-q)^i q^{n_u-i-1}$$

➤ スロットノード処理の関数

K : スロット内SICを試みる最大受信波数

$$\chi(1 - {}^\ell p) = e^{-\frac{\alpha}{R} {}^\ell p} \sum_{m=0}^{\infty} \frac{\left(\frac{\alpha}{R} {}^\ell p\right)^m}{m!} (1 - \bar{\epsilon}_{m+1})$$

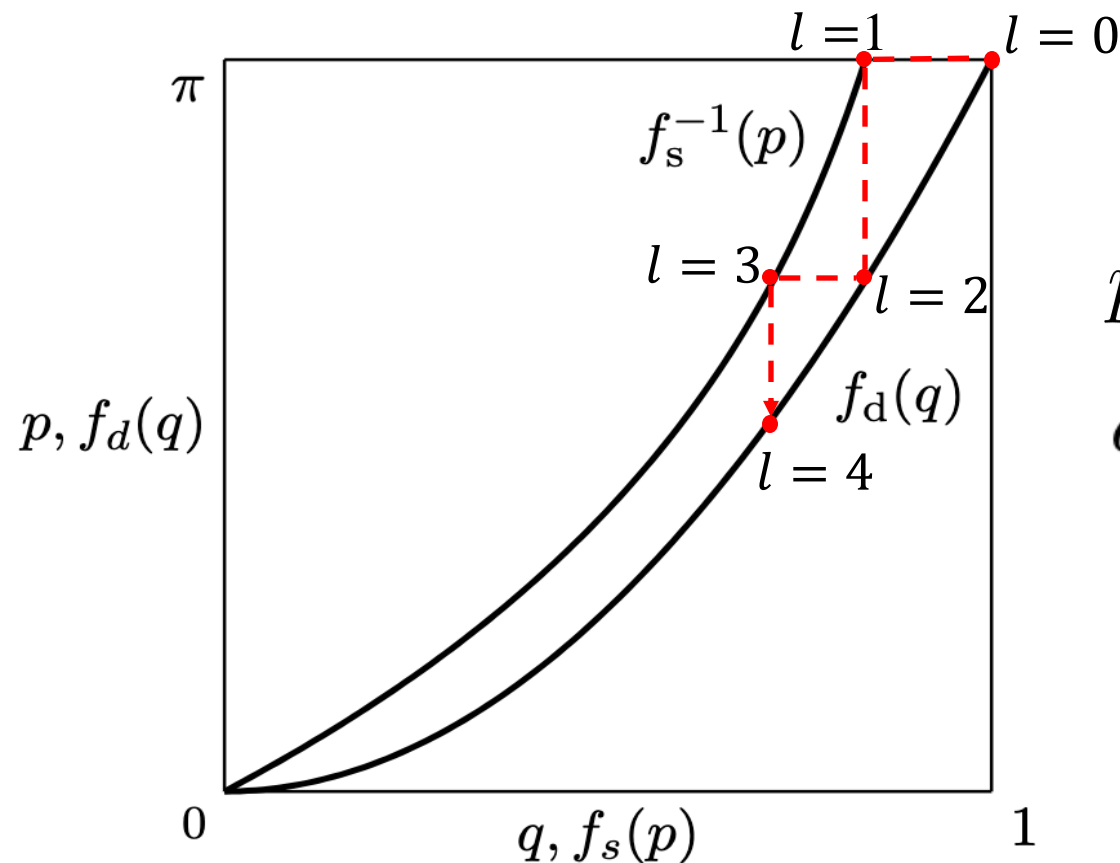
フェーディング

$$\chi(1 - {}^\ell p) = e^{-\frac{\alpha}{R} {}^\ell p} \quad \text{フェーディングなし}$$

目次

- 符号化Slotted ALOHAシステム（本システムの説明）
 - ✓ 符号化と復号
 - ✓ 評価指標
- BP閾値の定式化
 - ✓ （レイリーフェージング環境）
- Converse限界の定式化
- MAP閾値の定式化
- 数値結果

EXITチャート



$$p = \pi \tilde{\lambda}(q) \triangleq f_d(q)$$

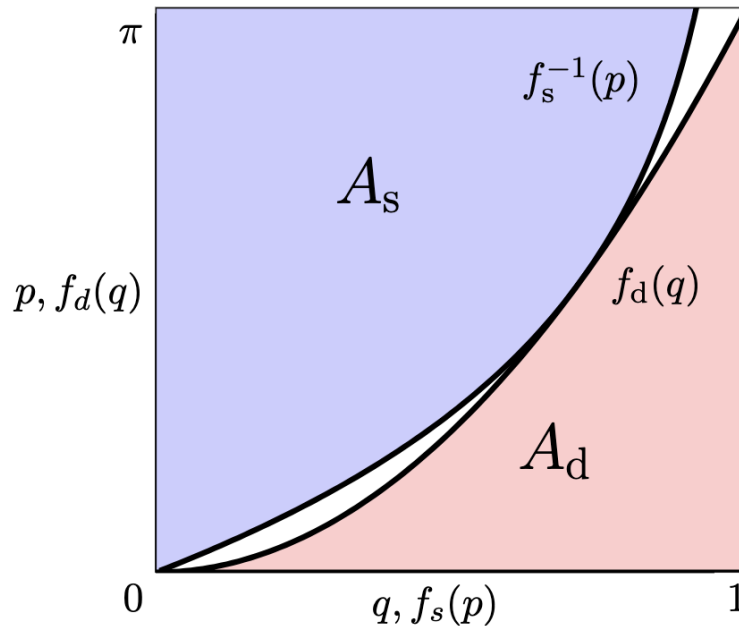
$$q = 1 - \chi(1 - p) \triangleq f_s(p)$$

復号可能な場合は2つの曲線は交差しない

EXIT関数の積分

- トンネルを除く面積は領域全体の面積より小さい

π : アクティブ確率



$$A_d + A_s < \pi$$

$$A_s = \int_0^\pi f_s(p) dp$$

$$A_d = \int_0^1 f_d(q) dq$$

$$G^{\text{C,blk}} = \sum_{m=0}^{\infty} \left((1 - \bar{\epsilon}_{m+1}) (1 - e^{-G^{\text{C,blk}} \frac{1}{R}} \sum_{k=0}^m \frac{(G^{\text{C,blk}} \frac{1}{R})^k}{k!}) \right)$$

※ $G = \pi\alpha$

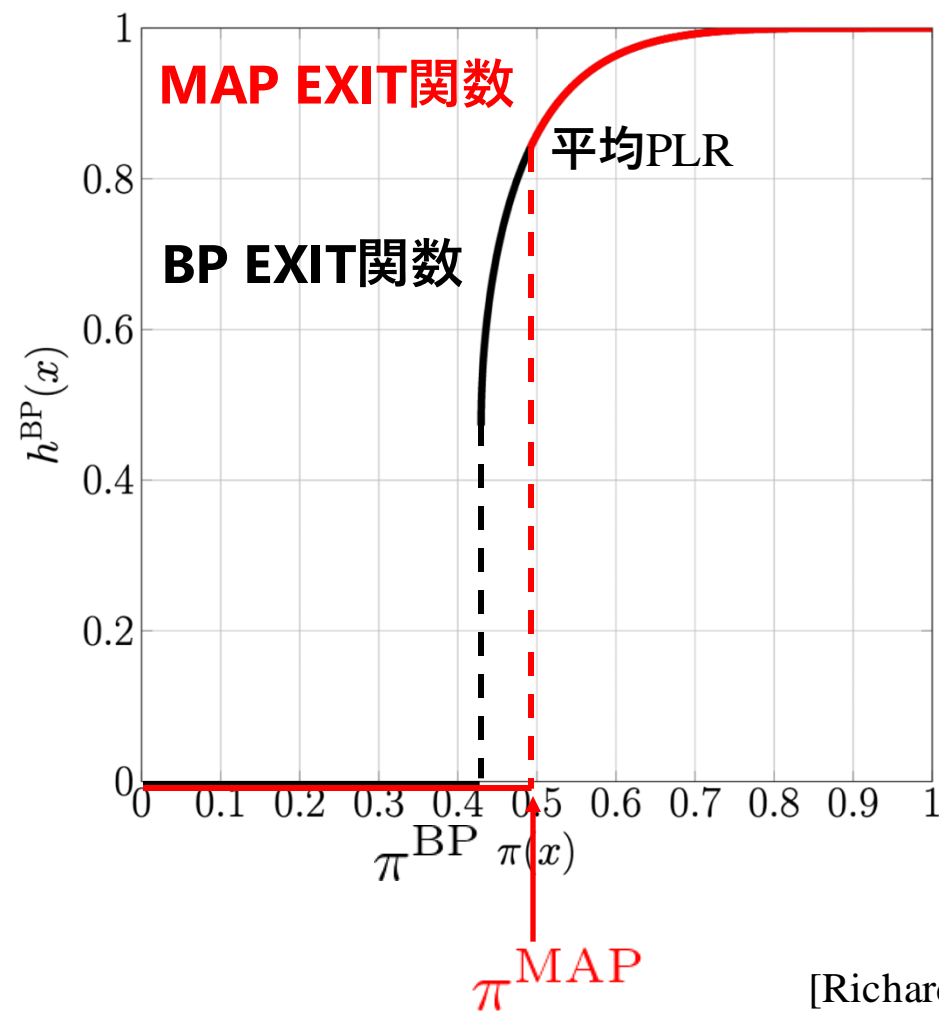
- いかなる送信方式でも達成不可能

目次

- 符号化Slotted ALOHAシステム（本システムの説明）
 - ✓ 符号化と復号
 - ✓ 評価指標
- BP閾値の定式化
 - ✓ （レイリーフェージング環境）
- Converse限界の定式化
- MAP閾値の定式化
- 数値結果

面積定理

繰り返し符号の時のみ定式化



➤ BP EXIT関数

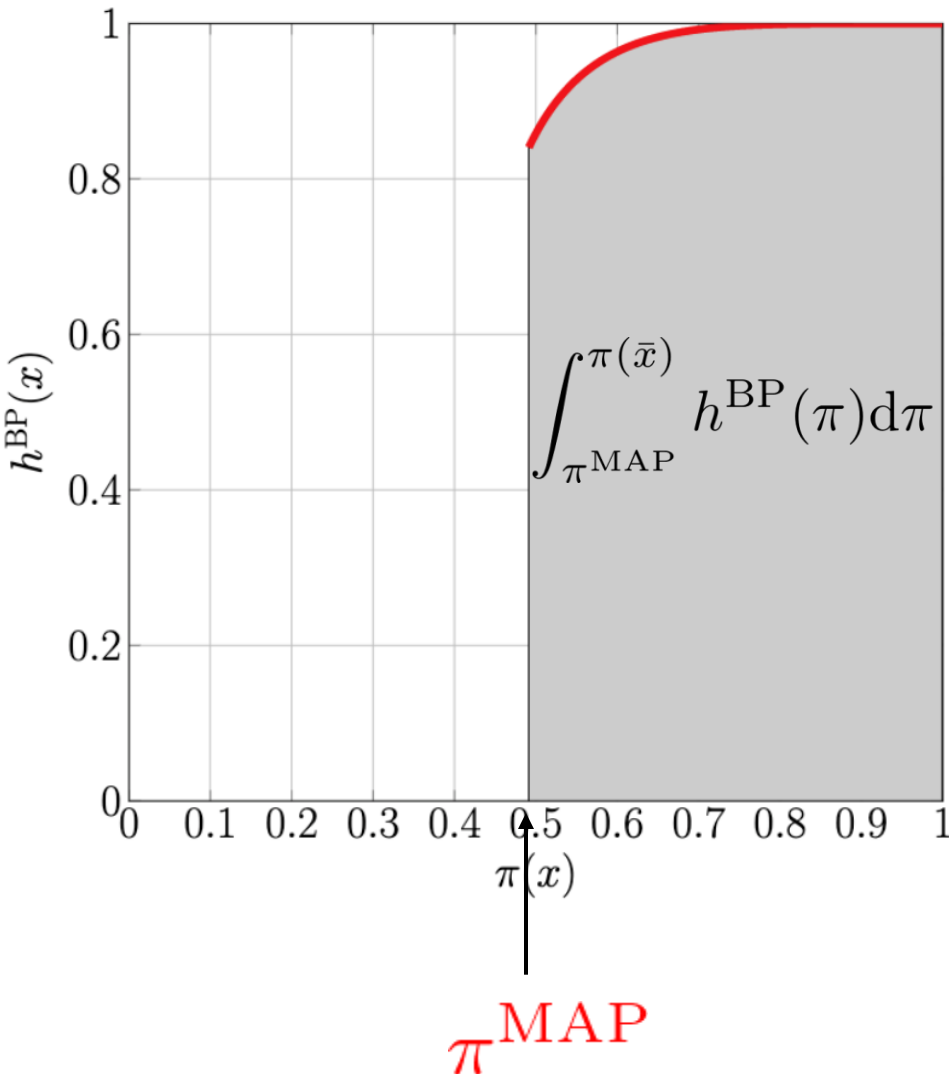
- ✓ BP閾値までは 0
- ✓ BP閾値以降は収束PLR

➤ MAP EXIT関数 [Richardson08]

- ✓ MAP閾値までは 0
- ✓ MAP閾値以降はBP曲線と一致

[Richardson08] Richardson and R. Urbanke, Modern Coding Theory, Cambridge University Press, 2008.

MAP閾値



➤ 試行エントロピー

✓ BP曲線下の積分

$$P(x) = \frac{x\tilde{\Lambda}(1 - \chi(1 - x))}{\tilde{\lambda}(1 - \chi(1 - x))}$$

$$+ \tilde{\Lambda}'(1) (x\chi(1 - x) - \tau(x))$$

$$\tau(x) \triangleq \int_0^x \chi(1 - z) dz$$

$$\int_{\pi^{\text{MAP}}}^{\pi(\bar{x})} h^{\text{BP}}(\pi) d\pi = P(\bar{x}) - \frac{P(x^{\text{MAP}})}{0} = P(\bar{x})$$

➤ 通信トラフィック

$$G^{\text{MAP}, \text{blk}} = \alpha \pi^{\text{MAP}}$$

MAP閾値

目次

- 符号化Slotted ALOHAシステム（本システムの説明）
 - ✓ 送信方式
 - ✓ 復号方式
- BP閾値の定式化
 - ✓ （レイリーフェージング環境）
- Converse限界の定式化
- MAP閾値の定式化
- 数値結果

数値解析諸元

パラメータ	値
平均受信SNR $\bar{\Gamma}$	20 dB
フェージング分散 σ_h^2	1
総デバイス数と スロット数の比率 α	100
スロット内SIC閾値 η_0	1
PLRの目標値	$\leq 10^{-2}$

$$\alpha = N_T / M$$

M : スロット数

N_T : 総デバイス数

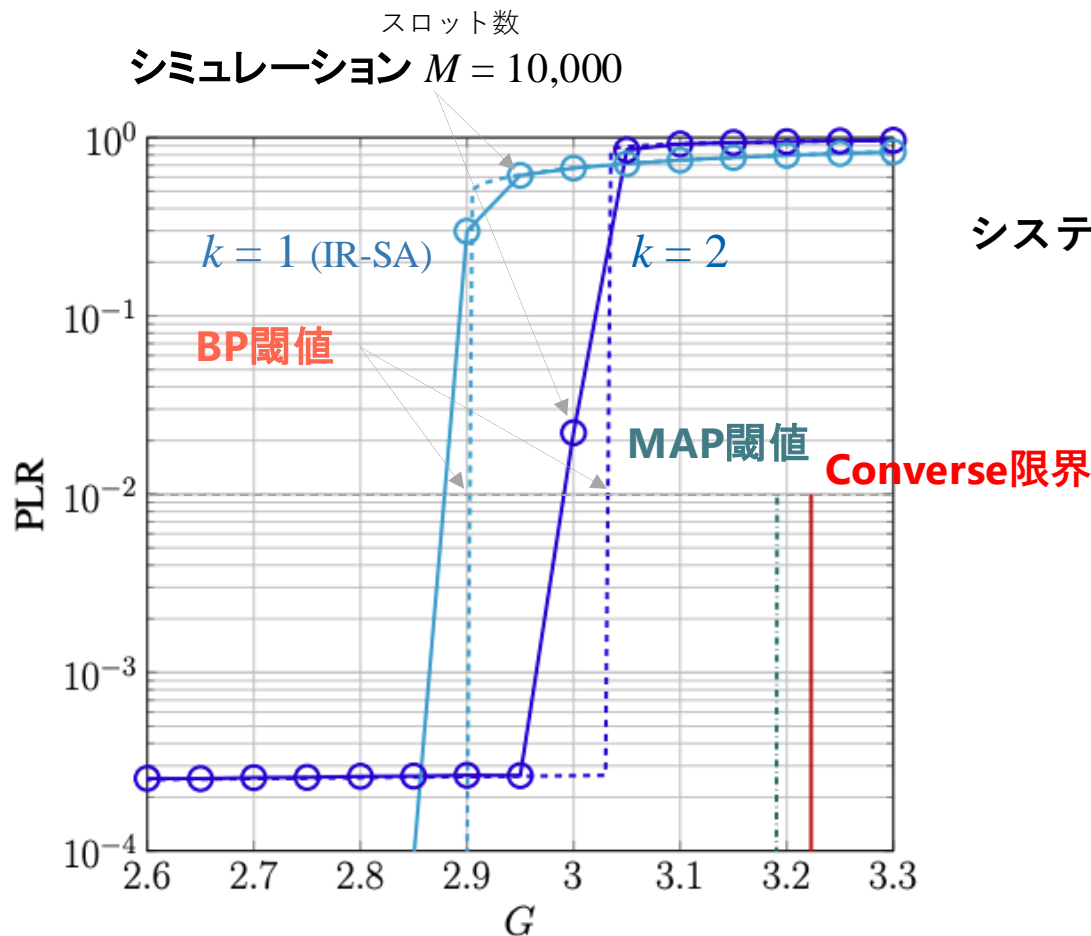
$$\eta_0 = 2^{R_0} - 1$$

(通信路符号化定理)

PLR : パケットロス確率

符号化SAのBP閾値とシミュレーション

($\kappa = 15$)

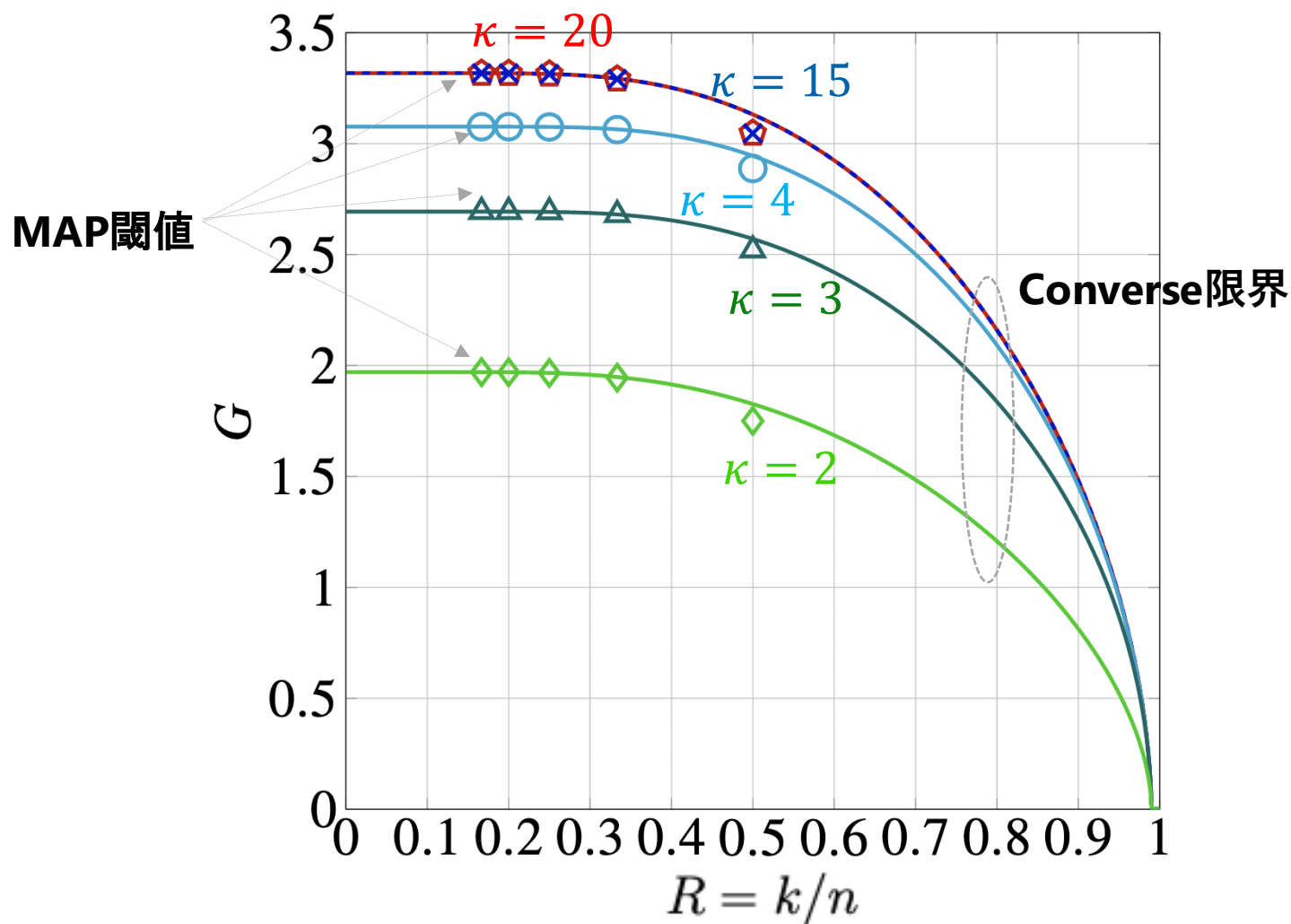


システム平均符号化率
 $R = 0.43$

➤ **MDS符号化**することで従来 ($k = 1$) より性能が向上

Converse限界とIR-SAのMAP閾値

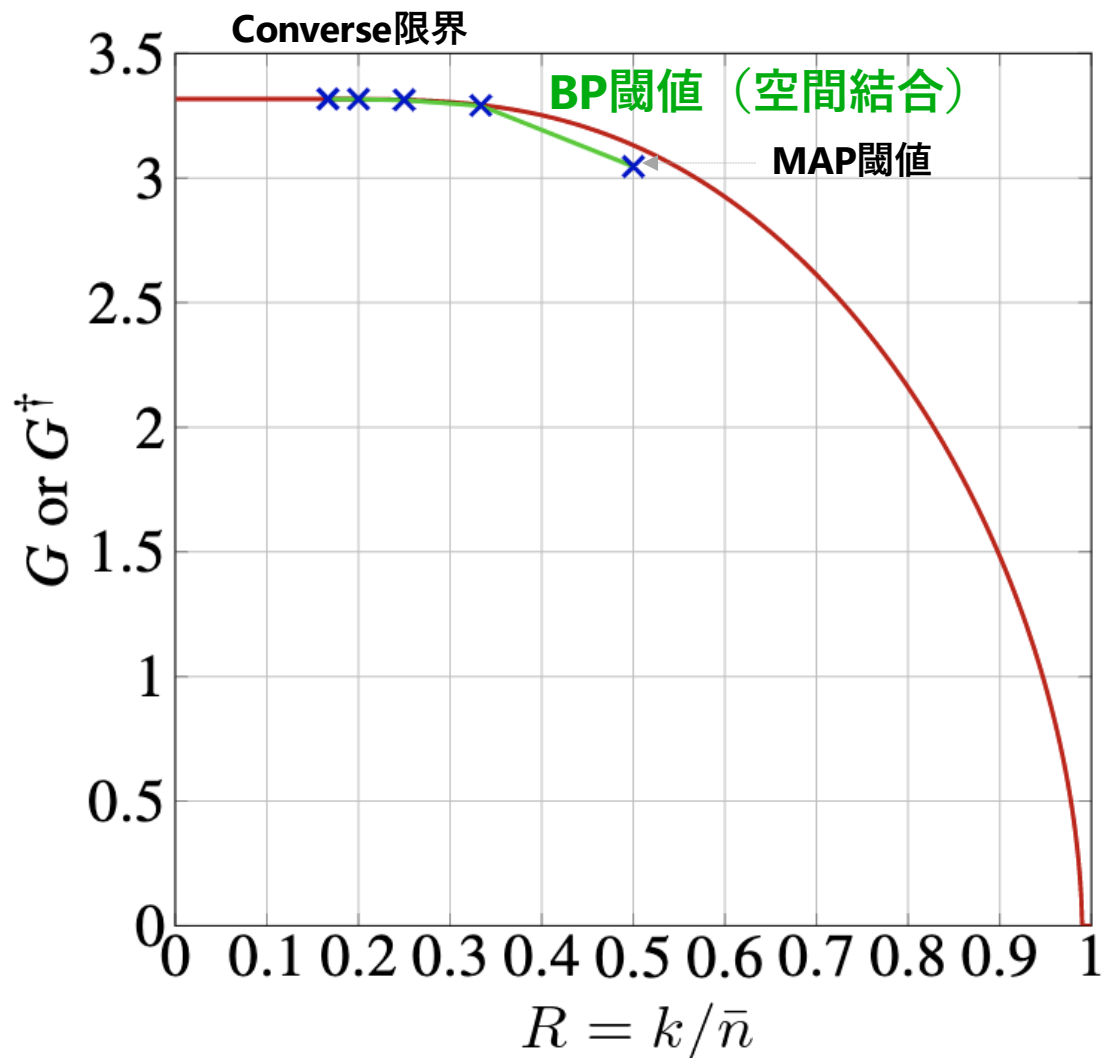
($k = 1$)



➤ Converse限界はタイト

閾値飽和

($\kappa = 15$)



まとめ

C-SAのレイリーフェージング環境における

- **BP閾値**を定式化
 - ✓ スロット内SICを考慮した定式化
- **閾値上界** (Converse限界) を定式化
 - ✓ **平均EXIT関数**をガウス積分公式で積分
- 閾値上限の**MAP閾値**を定式化 (IR-SA)
 - ✓ **BP EXIT関数**を定義
 - ✓ 面積定理により**MAP閾値**を定式化
 - **MAP閾値**を達成 (**空間結合**)

C-SA : 符号化Slotted ALOHA

IR-SA : 不規則反復Slotted ALOHA

外部発表リスト

[1] 高橋侑平, 宋光輝, 木村共孝, 程俊,
“レイリーフェージング環境における不規則反復Slotted ALOHAシステム：
理論限界とMAP閾値,”
第45回情報理論とその応用シンポジウム (SITA2022), 2022年11月.

[2] Y. Takahashi, G. Song, T. Kimura, and J. Cheng , “Irregular Repetition Slotted ALOHA over Rayleigh Block Fading Channels: Bounds and Threshold Saturation via Spatial Coupling,”
Submitted to IEEE Access

[3] Y. Takahashi, G. Song, T. Kimura, and J. Cheng, “Coded Slotted ALOHA over Rayleigh Block Fading Channels: BP Threshold and Converse Bound,”
In preparing for submission to IEEE Communications Letter

付録

スロット内SICの平均パケット誤り率 [Clazzer17]

➤ t 個のパケットを復号できる確率

$$\Pr \left\{ \underbrace{\frac{\Gamma_1}{1 + \sum_{i=2}^m \Gamma_i}}_{\text{SINR}} > \eta_0, \dots, \frac{\Gamma_t}{1 + \sum_{i=t+1}^m \Gamma_i} > \eta_0 \right\}$$
$$= \Pr \left\{ \Gamma_1 > \eta_0 \left(1 + \sum_{i=2}^m \Gamma_i \right), \dots, \Gamma_t > \eta_0 \left(1 + \sum_{i=t+1}^m \Gamma_i \right) \right\}$$

確率変数 Γ の t -重積分

➤ m -衝突信号の平均パケット誤り率

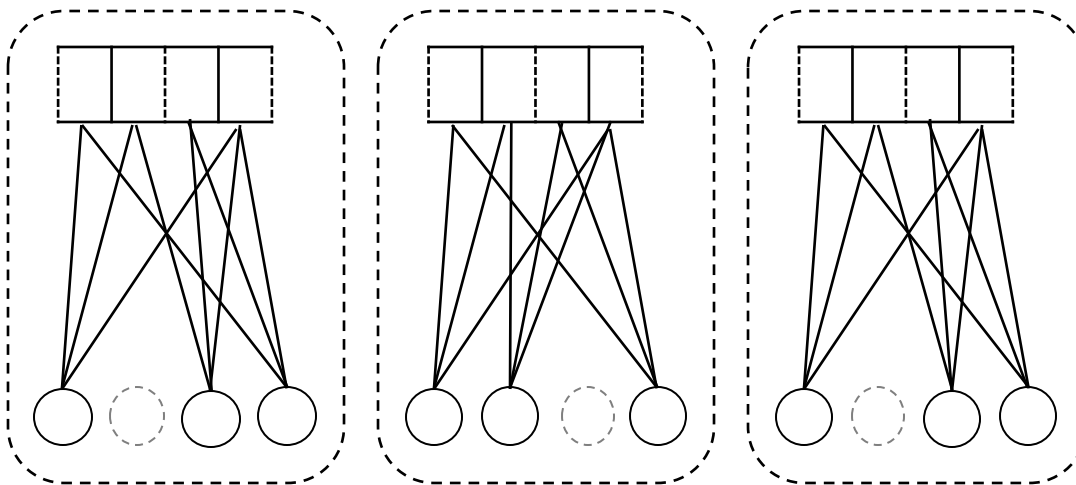
$$\bar{\epsilon}_m = 1 - \sum_{t=1}^m \frac{(m-1)!}{(m-t)!} \frac{e^{-\frac{1}{\Gamma}} ((1+\eta_0)^t - 1)}{(1+\eta_0)^{t(m-(t+1)/2)}}$$

符号化Slotted ALOHA

スロット数 $M = 2$

分割数 $k = 2$

送信セグメント数 $n = 3$



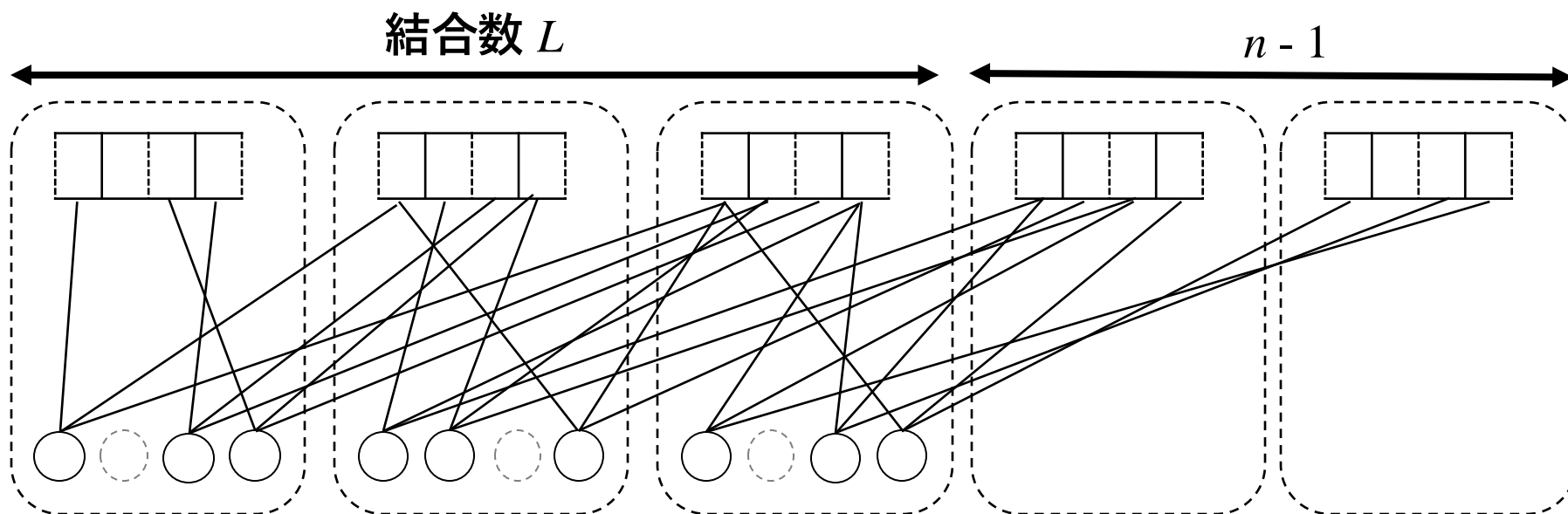
空間結合符号化Slotted ALOAH

結合数 $L = 3$

スロット数 $M = 2$

分割数 $k = 2$

送信セグメント数 $n = 3$



両端のフレームから復号しやすい

Converse限界の意義と閾値飽和

($\kappa = 15$)

	空間結合 BP閾値	定数回反復 MAP閾値	不規則反復 MAP閾値	Converse 限界
\bar{d}	$G^{\dagger \text{BP, Conv}}$	$G^{\text{MAP, blk}}_{d\text{-reg}}$	$G^{\text{MAP, blk}}_{\text{irr}}$	$G^{\text{C, blk}}$
2	3.0463	3.0458	3.0945	3.1315
3	3.2906	3.2910	3.2932	3.2934
4	3.3130	3.3138	3.3139	3.3139
5	3.3159	3.3168	3.3168	3.3169
6	3.3164	3.3173	3.3174	3.3174

■ Converse限界はIR-SAのMAP閾値と非常にタイト

■ SC-SAは閾値上限をほぼ達成

シミュレーション及びBP閾値で使した分布

➤ $k = 1$

$$\Lambda(x) = 0.104231x^4 + 0.107456x^3 + 0.788313x^2$$

➤ $k = 2$

$$\Lambda(x) = 0.12696x^9 + 0.0687595x^8 + 0.0348876x^3 + 0.0699262x^2 + 0.699466x$$

Differential Evolution (差分進化)で最適化